



## سنگ شناسی، شیمی کانی و زمین دما - فشارسنجی برونبوم‌های درون گنبد آتشفشنایی کوه بارنده (شرق خوسف)

محمدحسین یوسف زاده<sup>۱\*</sup>، مسیب سبزه‌ئی<sup>۲</sup>

۱- گروه پژوهشی علوم زمین، دانشکده علوم، دانشگاه بیرجند، بیرجند، ایران.

۲- پژوهشکده علوم زمین، سازمان زمین شناسی و اکتشافات معدنی کشور، تهران، ایران.

(دریافت مقاله: ۹۰/۱/۱۴، نسخه نهایی: ۹۰/۶/۲)

**چکیده:** ترکیب گنبد آتشفشنایی کوه بارنده از آندزیت، آندزیت داسیتی و داسیت با ترکیب نزدیک به آهکی - قلیایی تشکیل شده است. ویژگی چشمگیر این گنبد، حضور انواع برونبوم‌ها با ترکیب، شکل و اندازه‌ی متفاوت است. بررسی‌های دقیق صحرائی و آزمایشگاهی نشان می‌دهد که این ترکیب‌ها را می‌توان به انواع زینولیتی و اтолیتی رده‌بندی کرد. زینولیت‌ها از سنگ اولیه و به صورت پلیتی و بازی دیده می‌شوند. زینولیت‌ها دو پدیده‌ی دگرگونی مشخص را نشان می‌دهند: (۱) پدیده‌ی دماجنبشی ناحیه‌ای که با سمت یافته‌گی واضح و برگوارگی تأیید می‌شود. (۲) دگرگونی گرمایی که موجب تشکیل آندالوزیت، سیلیمانیت، کردیریت و اسپینل به خرج کانی‌های قبلی مثل بیوتیت، موسکوویت و غیره در سنگ پلیتی، و هورنبلند سبز به خرج هورنبلند قهقهه‌ای در سنگ بازی شده است. اندازه گیری دما و فشار نشان می‌دهد که این زینولیت‌ها گسترده‌ی دما و فشار (۸۳۰°C - ۷۶۸ و ۷ - ۵ Kb) را در طی دگرگونی ناحیه‌ای و محدوده‌ی دما و فشار (۳۶ - ۶۵ Kb و ۷۴۷ - ۸۲۱°C) را در یک دگرگونی پسروند مجاورتی تحمل کرده‌اند.

**واژه‌های کلیدی:** گنبد آتشفشنایی؛ برونبوم؛ زینولیت؛ کوه بارنده؛ خوسف.

اختلاط، به سرعت به خارج پرتاپ و متبلور می‌شوند لذا اطلاعات مفیدی از تاریخچه اولیه تشکیل خود و ماغمای میزان در اختیار می‌گذارند [۲]. نظر به اهمیت یاد شده، در این پژوهش، سنگنگاری و شیمی کانی‌های تشکیل دهنده برونبوم‌های نوع زینولیتی و سنگ میزان آنها بررسی شده‌اند.

### روش کار

در این پژوهش، نخست ضمن بررسی صحرائی، نمونه‌برداری کاملی از سنگ‌های آتشفشنایی منطقه و برونبوم‌های آنها انجام پذیرفت. سپس تعداد زیادی مقطع نازک میکروسکوپی، آماده و ویرگی‌های کانی‌شناسی و بافتی آنها با میکروسکوپ قطبشی نوع لایتز بررسی شدند. در مرحله‌ی بعد، به وسیله‌ی یک

### مقدمه

منطقه‌ی مورد بررسی در ۵ کیلومتری شرق خوسف (۳۵ کیلومتری جنوب غربی بیرجند)، در گستره‌ای با مشخصات  $۳۲^{\circ} ۴۶' ۵۸''$  طول شرقی و  $۳۲^{\circ} ۴۶' ۱۷''$  عرض شمالی قرار گرفته است (شکل ۱). راه ارتباطی منطقه، جاده‌ی بیرجند- خوسف و راه فرعی خوسف - رج است. گنبد آتشفشنایی ترشیری کوه بارنده، آمیزه‌ی افیولیتی کرتاسه و فلیش‌های کرتاسه و پالئوسن را قطع می‌کند [۳]. نخستین کنکاش‌ها [۴،۳] نشان می‌دهد ترکیب سنگ‌شناسی گنبد آتشفشنایی یاد شده آندزیتی و آندزیت داسیتی بوده و دارای برونبوم‌های فراوانی از نوع زینولیتی و اтолیتی است. در محیط‌های آتشفشنایی، برونبوم‌ها و سنگ میزان، پس از

\* نویسنده مسئول: ، تلفن: ۰۵۶۱ (۲۵۰ ۲۵۱۵)، نامبر: ۹۱۵۳۶۲۰ ۱۱۸، پست الکترونیکی: mhyousefzadeh@yahoo.com

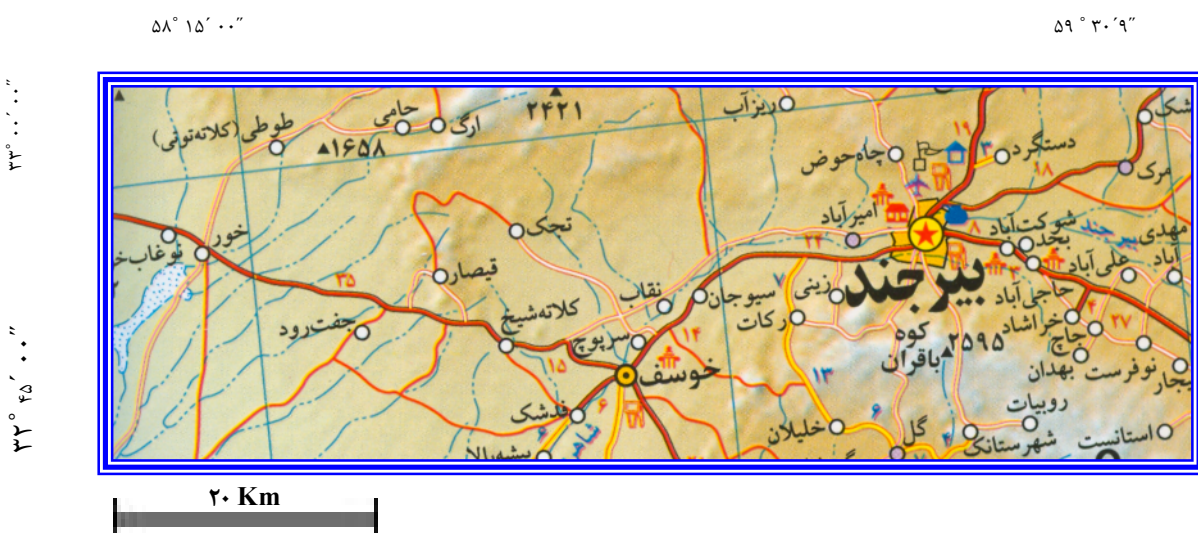
آشکاری با سنگ میزبانند. مهم‌ترین بافت این برونبوم‌ها، میکروگرانوبلاستیک، گرانوبلاستیک و به ویژه نماتوبلاستیک و نواربندی بوده که گواه دگرگونی دماجنبشی‌اند (شکل ۲ و ۳). هورنبلند سبز و پلازیوکلاز دو سازای اصلی آنها هستند. با افزایش درجهٔ دگرگونی، کلینوپیروکسن و هورنبلند قهقهه‌ای نیز تشکیل شده‌اند (شکل ۲). با همخوانی این مجموعه با [۶] می‌توان زون‌های استارولیت و کیانیت و حد دگرگونی اواخر رخساره‌ی آمفیبولیت و مرز آن با گرانولیت را برای آنها در نظر گرفت. پلازیوکلاز هم‌زیست با اکتینولیت، آلبیت و پلازیوکلاز هم‌زیست با هورنبلند، اولیگوکلاز یا آندزین‌اند [۴]. به نظر [۶] تغییر هورنبلند سبز به هورنبلند قهقهه‌ای در زون استارولیت رخ می‌دهد. هورنبلند در دمای حدود ۵۰۰ °C انجام می‌گیرد و هم‌زمنیه کردن با اولیگوکلاز (An<sub>17</sub>) نشان‌دهنده‌ی آغاز رخساره آمفیبولیت است. بنابر [۹] واکنش بین آلبیت و ترمولیت که منجر به تشکیل ادنیت و کوارتز می‌شود از نوع انتقالی محض است (در برابر واکنش‌های تبادلی). با افزایش دما و این واکنش و تخریب نهائی اپیدوت، مقدار An پلازیوکلاز افزایش می‌یابد.

ریزکاونده‌ی الکترونی (EPMA) در دانشگاه منچستر انگلستان، تجزیه نقطه‌ای کانی‌ها انجام گرفت. در پایان، برای ترسیم نمودارهای معرف ترکیب کانی‌ها از نرم افزار Minpet استفاده شد.

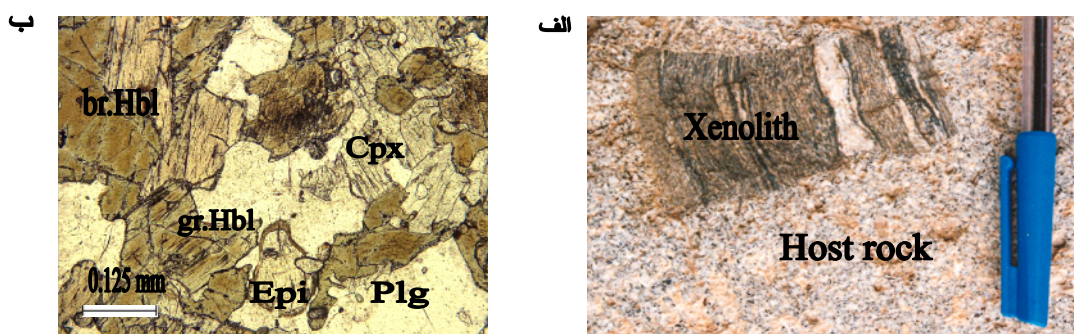
**سنگنگاری سنگ‌های آتشفسانی کوه بارنده**  
مهم‌ترین کانی‌های آندزیت و آندزیت داسیتی کوه بارنده درشت بلورهای شکل دار یا نیمه‌شکل دار پلازیوکلاز، هورنبلند سبز، بیوتیت و بلورهای ریز و متوسط کانی‌های کدر (مگنتیت و ایلمینیت) و به ندرت کلینوپیروکسن و ارتوپیروکسن هستند که در یک خمیره‌ی حاوی بلورهای ریز کوارتز قرار گرفته‌اند. منطقه‌بندی نوسانی در پلازیوکلازا نشانه‌ی وجود شرایط عدم تعادل در زمان تشکیل آنهاست [۴] که در سنگ‌های آتشفسانی امری عادی است. بنابر [۴، ۲]، برونبوم‌ها موجود در سنگ‌های منطقه به دو گروه زینولیتی و اتسولیتی تقسیم می‌شوند که عبارتند از زینولیت‌ها شامل هورنفلس‌های بازی (آمفیبولیتی) و پلیتی (برگهای) که در اینجا مورد بحث قرار می‌گیرند.

#### برونبوم‌های نوع هورنفلس بازیک (آمفیبولیتی)

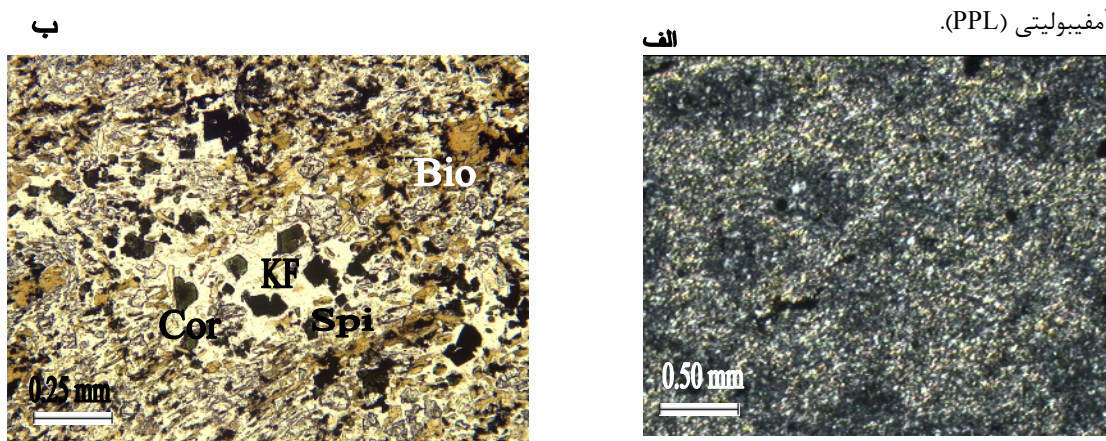
برونبوم‌های آمفیبولیتی فراوان‌ترین نوع برونبوم درون این سنگ‌ها بوده و ابعاد آنها به ۳۰ سانتی‌متر می‌رسد. در نمونه‌ی دستی، ریزدانه، میان دانه و به ندرت درشت دانه بوده و رنگ آنها از سبز روشن تا سبز تیره تغییر می‌کند. برونبوم‌های یاد شده به شکل‌های مختلف و نامنظم دیده شده‌اند و دارای مرز



شکل ۱ موقعیت جغرافیائی و راههای ارتباطی منطقه‌ی مورد بررسی در شرق خوسف [۱].



شکل ۲ (الف) نوارهای روش غنی از پلازیوکلаз و تیره غنی از هورنبند در برونبوم‌های آمفیبولیتی با بافت نواری و (ب) پلازیوکلاز (Plg)، کلینوپیروکسن (Cpx) و هورنبندهای قهوه‌ای (br.Hbl) با کناره‌های سبز (gr.Hbl) و اپیدوت (Epi) به صورت‌های برونبوم پیروکسن آمفیبولیتی (PPL).

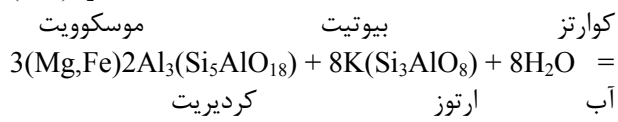
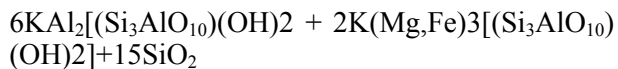


شکل ۳ (الف) بافت لکه‌ای در اسلیت‌ها و فیلیت‌ها (XPL) و (ب) بیوتیت (Bio)، فلدسپات پتاسیم (KF)، کروندوم (Cor) و اسپینل (Spi) در هورنفلس‌های برگهای (PPL).

**برونبوم‌های نوع هورنفلس پلیتی (برگهای)**  
این برونبوم‌ها به دو گروه اسلیت‌ها و فیلیت‌های لکه‌دار و هورنفلس‌های غنی از بیوتیت تقسیم می‌شوند. در نمونه‌ی دستی، ریز دانه و به رنگ‌های سبز روشن تا تیره دیده شده و دارای ابعاد ۳۰ تا ۳۰ سانتی‌متر و شکل‌های نامنظم بوده و با مرزهای تیز از سنگ میزان جدا می‌شوند. شواهد کانی‌شناسی و بافتی نشان می‌دهد که این برونبوم‌ها نیز علاوه بر تحمل دگرگونی دما‌جانبی، به خوبی آثار دگرگونی همبری را نشان می‌دهند. تشکیل رخ سنگ‌های اسلیتی و برگوار، نشان دهنده‌ی اعمال دگرگونی دما‌جانبی است. تشکیل بافت لکه‌ای در اسلیت و فیلیت و کانی‌های حساس به گرما مثل آندالوزیت و سیلیمانیت در بیوتیت هورنفلس‌ها، نشانه دگرگونی همبری است (شکل ۳ الف). ذرات ریز کانی‌های فلزیک از قبیل کوارتز، ایلیت، سریسیت، آلبیت و فلدسپار پتاسیم نمادهای اصلی گروه اووند. گروه دوم هورنفلس‌های غنی از بیوتیت هستند که یا از نوع برگهای خالص بوده و یا به صورت نواری با نوارهای سیلیکات قلیایی دیده می‌شوند. بررسی‌های میکروسکوپی،

کلینوپیروکسن معمولًا در دمای حدود  $650^{\circ}\text{C}$  در آمفیبولیت‌های درجه‌ی بالاتر ظاهر می‌شود [۹]. در سنگ‌های بازی طی فرآیند دگرگونی همبری، دامنه‌ی وسیعی از واکنش‌ها انجام می‌پذیرد هرچند دمای ماگمای انجام دهنده دگرگونی کمتر از کانی‌های سنگ‌هاله دگرگونی باشد [۱۰]. به همین دلیل در دگرگونی همبری ناشی از سقوط برونبوم به درون ماگما، بخش‌های کناری هورنبلند قهوه‌ای به هورنبلند سبز و پلازیوکلازهای کلسیم‌دارتر به پلازیوکلازهای سدیم‌دارتر و اپیدوت تبدیل شده‌اند (شکل ۲). به نظر [۱۱، ۱۲] برای متابایت‌های همبافت منطقه بروکن هیل، پاراژن‌های رخساره‌ی آمفیبولیت و برونبوم‌های آمفیبولیتی آن، در اواخر رخساره‌ی آمفیبولیت و هم مرز با رخساره‌ی گرانولیت شکل گرفته‌اند. با توجه به شباهت ترکیب شیمیابی برونبوم‌های نوع اخیر با سنگ‌های بازی وابسته به آمیزه‌ی افیولیتی منطقه [۴، ۳]، به نظر می‌رسد که این برونبوم‌ها، بخش‌های دگرگون شده‌ی سنگ‌های یاد شده، به عنوان پی سنگ پوسته زیرین منطقه باشند.

آب ارتوز کردیریت کوارتز آندالوزیت  
بیوتیت



واکنش اخیر در فشارهای ۱ تا ۲ کیلوبار به ترتیب در دماهای پایین ۵۸۰ و ۶۰۵ درجه سانتیگراد صورت می‌گیرد [۷].

تبلور آندالوزیت ویژه‌ی سنگ‌های برگهای در دماهای است.

شروع تبلور این کانی از دمای ۴۰۰ تا ۴۲۰ درجه سانتیگراد از دگرگونی پیروفیلیت حاصل می‌شود [۱۳].



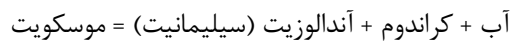
آب آندالوزیت پیروفیلیت

در سنگ‌های حاوی آلبیت و کوارتز تخریب موسکوویت از

واکنشی شبیه به واکنش زیر آغاز می‌شود [۹]:

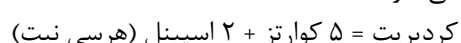


در سنگ‌های فاقد کوارتز، تخریب موسکوویت نهایی از طریق واکنش‌های زیر است [۹]:



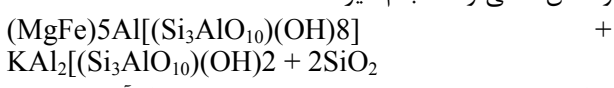
به نظر [۸] سنگ‌های پلیتی غالباً حاوی  $\text{XFe}_{0.8}$  حدود

هستند، و چنین سنگی در فشار پائین دارای کردیریت و با افزایش فشار از طریق واکنش زیر اسپینل (هرسینیت) تولید می‌شود:

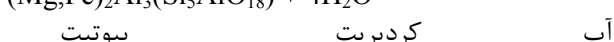


XRD و ریزکاوی نشان می‌دهد که نوارهای برگهای ریز دانه شامل اسپینل، کرونodium، آندالوزیت، کردیریت، بیوتیت، فلدسبار پتاسیم، سیلیمانیت، پلاژیوکلاز و مگنتیت و نوارهای سیلیکات آهکی حاوی پلاژیوکلاز، کوارتز، کلینوپیروکسن و گارنت (شکل‌های ۳ ب و ۴) هستند. به نظر می‌رسد این برونوپومها، نخست طی دگرگونی دماجنبشی تا حد رخساره‌ی شیست سبز و آمفیبوليت دگرگون شده و سپس به دلیل سقوط به درون ماقما تا حد اواخر رخساره‌ی پیروکسن هورنفلس دگرگون شده و برگوارگی آنها از بین رفته است.

در فشارهای کمتر از ۳ کیلوبار و دمای ۵۰۰ درجه سانتیگراد واکنش ۱ می‌تواند انجام گیرد [۱۳]:



کوارتز موسکوویت کلریت غنی از آلومینیوم +  $= \text{K}(\text{Mg},\text{Fe})_3[(\text{Si}_3\text{AlO}_{10})(\text{OH})_2]$

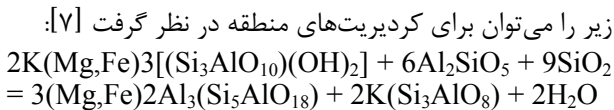


آب بیوتیت کردیریت

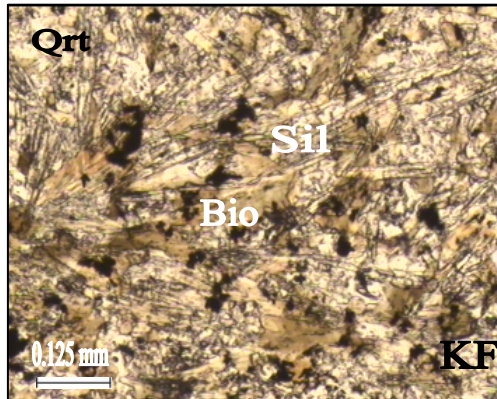
با توجه به پاراژنز موجود واکنش ۲ را می‌توان در نظر گرفت که بنابر [۱۴] در دمای  $55^{\circ}\text{C}$  و در فشارهای پائین‌تر از  $3\text{Kb}$  می‌دهد: آب + سیلیمانیت (آنالوزیت) + بیوتیت = کوارتز +

موسکوویت + کردیریت

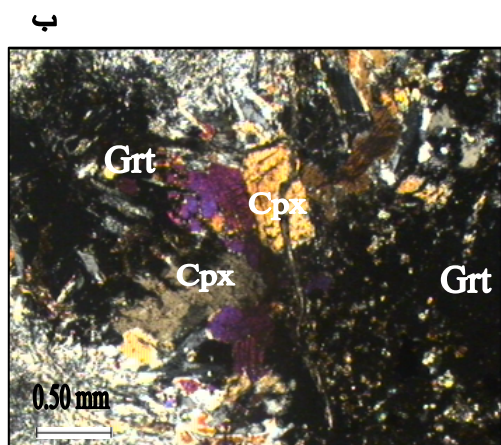
حد بالای شرایط فشار تبلور کردیریت از ۳ کیلوبار (قطب آهن‌دار) تا ۸ کیلوبار (قطب منیزیم‌دار) در تغییر است ولی دمای شروع تبلور کردیریت ۵۰۰ تا ۵۲۰ درجه سانتیگراد است. با توجه به پاراژنز موجود، علاوه بر واکنش ۱، واکنش‌های زیر را می‌توان برای کردیریت‌های منطقه در نظر گرفت [۷]:



الف



شکل ۴ الف) بیوتیت (Bio)، سیلیمانیت (Sil)، فلدسبار پتاسیم (PPL) و کوارتز (Qrt) (KF) به صورت‌های نوار برگهای (PPL) و ب) کلینوپیروکسن (Cpx)، گارنت گروسولار (Grt) و پلاژیوکلاز به صورت‌های نوار سیلیکات آهکی (PPL).



و پلازیوکلاز (جدول ۷) وابسته به برونبوم آمفیبولیتی آنالیز شده اند. بخش‌های کناری و هسته‌ی ارتوبیروکسن (جدول ۸)، هورنبلند (جدول ۹)، پلازیوکلاز (جدول ۱۰) و میکا (جدول ۱۱) درون پیروکسن آندزیت و ولاستونیت، گروسولار (جدول ۱۲) و فلدسپار (جدول ۱۳) برونبوم هورنفلس پلیتی، مورد آنالیز قرار گرفتند.

شیمی کانی‌های موجود در سنگ‌های آتشفسانی کوه بارنده و برونبوم‌های آن نقاط زیادی در بخش کناری و هسته‌ی هورنبلند سبز (جدول ۱)، میکا (جدول ۲) و پلازیوکلاز (جدول ۳) به آندزیت داسیتی میزان و کلینوبیروکسن (جدول ۴) وابسته‌اند، و کناره‌های سبز (جدول ۵) و هسته‌های قهوه‌ای هورنبلند (جدول ۶)

جدول ۱ داده‌های آنالیز نقطه‌ای آمفیبول در آندزیت داسیتی.

نقطه	۱Hbl	۲Hbl	۳Hbl	۴Hbl	۵Hbl	۶Hbl
موقعیت	کناره	هسته	هسته	کناره	میانه	کناره
SiO <sub>2</sub>	۴۴,۱۹	۴۳,۵۵	۴۶,۴۶	۴۵,۷۰	۴۶,۹۵	۴۶,۷۵
TiO <sub>2</sub>	۲,۱۴	۲,۵۰	۱,۴۱	۱,۳۶	۱,۳۴	۱,۳۲
Al <sub>2</sub> O <sub>3</sub>	۱۱,۲۸	۱۱,۷۳	۹,۲۴	۱۰,۳۸	۸,۳۴	۸,۱۲
Fe <sub>2</sub> O <sub>3</sub>	۴,۰۹	۴,۱۸	۴,۹۸	۴,۳۷	۲,۷۴	۳,۳۲
FeO	۹,۷۴	۱۰,۲۳	۶,۰۴	۷,۹۹	۱۱,۵۷	۱۱,۱۸
MnO	۰,۱۹	۰,۱۹	۰,۱۹	۰,۳۷	۰,۴۶	۰,۴۹
MgO	۱۳,۲۵	۱۲,۸۳	۱۶,۴۳	۱۴,۸۴	۱۳,۵۲	۱۲,۶۴
CaO	۱۰,۷۸	۱۰,۵۸	۱۰,۷۷	۱۰,۸۲	۱۱,۱۷	۱۱,۱۳
Na <sub>2</sub> O	۲,۱۰	۲,۳۵	۲,۱۲	۲,۲۵	۲,۱۴	۲,۰۵
K <sub>2</sub> O	۰,۴۲	۰,۴۵	۰,۴۸	۰,۵۴	۰,۴۵	۰,۵۰
Total	۹۶,۱۷	۹۸,۶۰	۹۸,۱۳	۹۸,۶۲	۹۸,۶۹	۹۸,۳۹

جدول ۲ داده‌های آنالیز نقطه‌ای میکا در آندزیت داسیتی.

نقطه	۱Biot	۲Biot	۳Biot	۴Biot	۵Biot
موقعیت	هسته	کناره	میانه	هسته	میانه
SiO <sub>2</sub>	۳۸,۳۸	۳۸,۴۴	۳۷,۵۲	۳۷,۴۳	۳۸,۰۴
TiO <sub>2</sub>	۳,۸۸	۳,۷۲	۳,۷۵	۳,۶۰	۳,۷۸
Al <sub>2</sub> O <sub>3</sub>	۱۴,۲۷	۱۴,۴۸	۱۳,۸۴	۱۴,۵۳	۱۳,۶۸
FeO	۱۳,۸۶	۱۳,۵۶	۱۴,۶۳	۱۴,۴۷	۱۲,۹۰
MnO	۰,۱۰	۰,۰۸	۰,۱۴	۰,۱۲	۰,۱۳
MgO	۱۵,۸۶	۱۶,۰۷	۱۵,۴۳	۱۵,۴۹	۱۶,۶۱
CaO	۰,۰۰	۰,۰۰	۰,۰۳	۰,۰۰	۰,۱۲
Na <sub>2</sub> O	۰,۴۲	۰,۳۹	۰,۴۹	۰,۴۳	۰,۲۸
K <sub>2</sub> O	۹,۱۵	۹,۰۰	۸,۴۸	۹,۰۰	۸,۴۲
Total	۹۵,۹۱	۹۵,۷۴	۹۴,۳۲	۹۵,۰۸	۹۳,۹۵

جدول ۳ داده‌های آنالیز نقطه‌ای پلازیوکلاز در آندزیت داسیتی.

نقطه	۱Plg	۲Plg	۳Plg	۴Plg	۵Plg	۶Plg	۷Pla	۸Plg	۹Plg	۱۰Plg
موقعیت	کناره	میانه	میانه	میانه	هسته	کناره	میانه	میانه	میانه	هسته
SiO <sub>2</sub>	۶۵,۲۵	۶۴,۲۳	۶۵,۱۲	۶۳,۴۷	۶۴,۶۶	۶۳,۳۷	۶۵,۳۵	۶۵,۲۹	۶۴,۱۳	۶۳,۲۷
TiO <sub>2</sub>	۰,۰۱	۰,۰۱	۰,۰۱	۰,۰۲	۰,۰۱	۰,۰۳	۰,۰۰	۰,۰۰	۰,۰۰	۰,۰۲
Al <sub>2</sub> O <sub>3</sub>	۲۳,۲۸	۲۳,۴۷	۲۳,۳۵	۲۴,۱۸	۲۳,۲۷	۲۳,۵۹	۲۲,۹۸	۲۲,۷۶	۲۳,۳۰	۲۳,۴۹
FeO	۰,۲۰	۰,۱۱	۰,۱۰	۰,۱۱	۰,۱۲	۰,۲۲	۰,۱۳	۰,۱۳	۰,۱۲	۰,۱۳
MnO	۰,۰۱	۰,۰۰	۰,۰۰	۰,۰۰	۰,۰۰	۰,۰۰	۰,۰۰	۰,۰۰	۰,۰۰	۰,۰۰
MgO	۰,۰۱	۰,۰۰	۰,۰۰	۰,۰۰	۰,۰۰	۰,۰۰	۰,۰۱	۰,۰۱	۰,۰۱	۰,۰۱
CaO	۴,۲۷	۴,۸۱	۴,۵۲	۵,۶۲	۴,۵۷	۵,۱۸	۴,۲۲	۳,۹۳	۴,۶۶	۵,۱۶
Na <sub>2</sub> O	۷,۵۷	۷,۴۰	۷,۵۶	۷,۳۰	۷,۷۵	۷,۴۵	۷,۸۱	۷,۹۵	۷,۷۵	۷,۱۲
K <sub>2</sub> O	۰,۶۳	۰,۶۹	۰,۷۵	۰,۴۶	۰,۵۴	۰,۵۱	۰,۷۱	۰,۷۵	۰,۶۲	۰,۵۵
Total	۱۰۱,۲۳	۱۰۰,۷۳	۱۰۱,۴۱	۱۰۱,۱۶	۱۰۰,۹۲	۱۰۰,۳۵	۱۰۱,۲۱	۱۰۰,۸۲	۱۰۰,۵۹	۱۰۰,۷۵

جدول ۴ داده‌های آنالیز نقطه‌ای کلینوپیروکسن در برونویوم پیروکسن آمفیبولیتی.

نقطه	۱Cpx	۲Cpx	۳Cpx	۴Cpx	۵Cpx	۶Cpx	۷Cpx	۸Cpx	۹Cpx	۱۰Cpx	۱۱Cpx	۱۲Cpx	۱۳Cpx	۱۴Cpx
موقعیت	کناره	هسته	میانه	کناره	میانه	کناره	هسته	میانه	هسته	میانه	میانه	میانه	میانه	میانه
SiO <sub>2</sub>	۵۱,۵۲	۵۱,۹۶	۵۱,۳۹	۵۳,۷۸	۵۳,۶۹	۵۱,۸۰	۵۲,۹۶	۵۳,۱۱	۵۱,۱۱	۵۱,۹۹	۵۲,۷۹	۵۱,۴۶	۵۱,۶۳	۵۱,۶۲
TiO <sub>2</sub>	۰,۲۶	۰,۲۴	۰,۲۹	۰,۰۸	۰,۱۱	۰,۲۲	۰,۰۸	۰,۱	۰,۲۱	۰,۳۱	۰,۱۲	۰,۲۴	۰,۲۹	۰,۲۱
Al <sub>2</sub> O <sub>3</sub>	۳,۰۷	۲,۹۳	۳,۰۰	۱,۵۷	۱,۷۸	۲,۵۶	۱,۸۳	۱,۹۴	۳,۱۴	۳,۵۳	۲,۰۹	۲,۸۲	۳,۲۸	۲,۶۷
Cr <sub>2</sub> O <sub>3</sub>	۰,۰۰	۰,۰۰	۰,۰۰	۰,۰۰	۰,۰۰	۰,۰۱	۰,۰۲	۰,۰۰	۰,۰۰	۰,۰۰	۰,۰۰	۰,۰۲	۰,۰۰	۰,۰۰
Fe <sub>2</sub> O <sub>3</sub>	۲,۶۹	۱,۹۷	۱,۷۷	۰,۸۰	۱,۰۳	۲,۴۷	۱,۸۸	۱,۷۳	۲,۳۵	۱,۸۰	۱,۹۲	۲,۱۹	۲,۱۵	۲,۹۱
FeO	۵,۹۵	۶,۷۲	۸,۳۲	۶,۷۶	۶,۴۳	۶,۷۷	۵,۸۴	۶,۳۶	۶,۴۳	۶,۷۶	۶,۶۰	۵,۳۵	۶,۴۷	۵,۴۴
MnO	۰,۳۳	۰,۳۲	۰,۳۴	۰,۲۸	۰,۳۰	۰,۳۱	۰,۳۲	۰,۳۱	۰,۳۴	۰,۲۹	۰,۳۲	۰,۳۱	۰,۳۳	۰,۳۳
MgO	۱۲,۳۸	۱۲,۲۵	۱۱,۶۷	۱۳,۲۸	۱۳,۲۴	۱۲,۲۲	۱۳,۲۴	۱۳,۱۱	۱۱,۹۲	۱۲,۰۶	۱۲,۶۱	۱۲,۵۷	۱۲,۱۹	۱۲,۴۹
CaO	۲۳,۴۲	۲۳,۴۴	۲۲,۸۱	۲۳,۹۴	۲۳,۹۲	۲۳,۴۶	۲۳,۸۴	۲۳,۷۰	۲۳,۱۱	۲۲,۳۵	۲۳,۶۶	۲۳,۵۸	۲۳,۲۶	۲۳,۶۱
Na <sub>2</sub> O	۰,۷۵	۰,۷۴	۰,۶۵	۰,۶۴	۰,۷۱	۰,۶۹	۰,۶۷	۰,۶۹	۰,۷۹	۰,۸۶	۰,۷۶	۰,۷۵	۰,۷۹	۰,۷۸
K <sub>2</sub> O	۰,۰۰	۰,۰۰	۰,۰۰	۰,۰۰	۰,۰۰	۰,۰۰	۰,۰۰	۰,۰۰	۰,۰۰	۰,۰۰	۰,۰۰	۰,۰۰	۰,۰۰	۰,۰۰
Total	۱۰۰,۳۷	۱۰۰,۵۸	۱۰۰,۲۴	۱۰۱,۱۳	۱۰۱,۲۲	۱۰۰,۵۰	۱۰۰,۶۵	۱۰۰,۰۶	۱۰۰,۴۰	۱۰۰,۹۵	۱۰۰,۸۸	۱۰۰,۲۸	۱۰۰,۳۹	۱۰۰,۰۷

جدول ۵ داده‌های آنالیز نقطه‌ای هورنبلند سبز در برونویوم پیروکسن آمفیبولیتی.

نقطه	۸Hbl	۱۲Hbl	۱۳Hbl	۱۶Hbl	۲۰Hbl	۲۱Hbl
موقعیت	هورنبلند سبز (کناره)	هورنبلند سبز (میانه)	هورنبلند سبز (کناره)	هورنبلند سبز (کناره)	هورنبلند سبز (کناره)	هورنبلند سبز (کناره)
SiO <sub>2</sub>	۴۴,۵۴	۴۴,۶۳	۴۴,۲۷	۴۴,۹۹	۴۵,۱۱	۴۵,۲۹
TiO <sub>2</sub>	۰,۶۰	۰,۷۹	۰,۶۷	۰,۶۳	۰,۵۵	۰,۶۸
Al <sub>2</sub> O <sub>3</sub>	۱۱,۰۳	۱۰,۵۸	۱۱,۴۲	۱۰,۵۴	۱۰,۲۸	۹,۹۱
Cr <sub>2</sub> O <sub>3</sub>	۰,۰۲	۰,۰۱	۰,۱	۰,۰۲	۰,۰۶	۰,۰۰
Fe <sub>2</sub> O <sub>3</sub>	۲,۵۳	۳,۴۴	۳,۶۷	۳,۹۲	۲,۲۹	۲,۶۶
FeO	۱۱,۹۲	۱۱,۲۷	۱۱,۶۶	۱۰,۴۹	۱۱,۷۲	۱۱,۶۶
MnO	۰,۲۹	۰,۲۸	۰,۲۷	۰,۳۰	۰,۲۶	۰,۲۹
MgO	۱۲,۱۷	۱۱,۹۹	۱۱,۸۵	۱۲,۴۷	۱۲,۳۹	۱۲,۴۷
CaO	۱۲,۱۰	۱۱,۸۴	۱۲,۰۶	۱۱,۹۷	۱۲,۰۴	۱۲,۱۳
Na <sub>2</sub> O	۲,۱۷	۱,۷۵	۲,۰۲	۱,۸۰	۱,۹۷	۱,۸۸
K <sub>2</sub> O	۰,۵۸	۰,۶۸	۰,۶۶	۰,۴۸	۰,۵۳	۰,۴۴
Total	۹۷,۹۴	۹۷,۳۵	۹۸,۵۶	۹۷,۶۱	۹۷,۲۰	۹۷,۴۱

جدول ۶ داده‌های آنالیز نقطه‌ای هورنبلند قهقهه‌ای در برونویوم پیروکسن آمفیبولیتی.

نقطه	۷Hbl	۹Hbl	۱۰Hbl	۱۱Hbl	۲۲Hbl	۲۳Hbl	۱۴Hbl	۱۵Hbl	۱۷Hbl
موقعیت	هسته								
	قهقهه‌ای								
SiO <sub>2</sub>	۳۴,۴۴	۴۵,۴۲	۴۴,۹۷	۴۴,۷۷	۴۲,۷۰	۴۴,۷۱	۴۵,۰۲	۴۴,۴۸	۴۵,۸۰
TiO <sub>2</sub>	۰,۶۹	۰,۵۴	۰,۵۵	۰,۶۷	۰,۷۸	۰,۶۰	۰,۶۵	۰,۶۷	۰,۸۰
Al <sub>2</sub> O <sub>3</sub>	۱۱,۹۷	۱۰,۲۶	۱۰,۲۹	۱۰,۳۴	۱۱,۸۹	۱۰,۵۴	۱۰,۷۵	۱۱,۰۰	۱۰,۱۶
Cr <sub>2</sub> O <sub>3</sub>	۰,۰۴	۰,۰۱	۰,۰۰	۰,۰۱	۰,۰۱	۰,۰۱	۰,۰۱	۰,۰۰	۰,۰۱۲
Fe <sub>2</sub> O <sub>3</sub>	۴,۳۳	۳,۰۵	۲,۸۶	۳,۰۵	۳,۵۶	۳,۵۵	۲,۲۷	۲,۴۹	۲,۹۶
FeO	۱۱,۱۳	۱۱,۱۷	۱۱,۲۹	۱۱,۴۱	۱۱,۶۱	۱۱,۱۱	۱۲,۰۲	۱۲,۰۵	۱۱,۲۷
MnO	۰,۲۷	۰,۲۵	۰,۲۸	۰,۲۷	۰,۲۹	۰,۲۶	۰,۲۷	۰,۲۷	۰,۳۰
MgO	۱۱,۵۴	۱۲,۵۳	۱۲,۵۲	۱۲,۲۶	۱۱,۳۸	۱۲,۲۸	۱۲,۲۵	۱۱,۹۷	۱۲,۳۷
CaO	۱۲,۰۲	۱۲,۱۸	۱۲,۰۹	۱۲,۰۸	۱۲,۰۱	۱۲,۰۳	۱۲,۱۰	۱۲,۰۸	۱۲,۰۰
Na <sub>2</sub> O	۱,۸۷	۱,۶۹	۱,۹۳	۱,۸۱	۱,۹۷	۱,۸۶	۲,۰۱	۲,۰۰	۱,۷۸
K <sub>2</sub> O	۰,۶۴	۰,۵۲	۰,۵۵	۰,۵۱	۰,۶۸	۰,۵۶	۰,۶۴	۰,۶۱	۰,۳۰
Total	۹۷,۹۳	۹۷,۶۲	۹۷,۳۲	۹۷,۱۷	۹۶,۸۷	۹۷,۵۰	۹۷,۹۹	۹۷,۶۲	۹۷,۸۵

## ادامه جدول ۶ داده‌های آنالیز نقطه‌ای هورنبلند قهوه‌ای و کناره‌های سبز آن در برونویوم پیروکسن آمفیبولیتی.

نقطه	۱۸Hbl	۱۹Hbl	Hbl18	۱۲Hbl	۱۳Hbl	۱۶Hbl	۲۰Hbl	۲۱Hbl
موقعیت	هسته قهوه ای	هسته قهوه ای	کناره سبز	میانه سبز	کناره سبز	کناره سبز	کناره سبز	کناره سبز
SiO <sub>2</sub>	۴۴,۶۲	۴۴,۶۶	۴۴,۵۴	۴۴,۶۳	۴۴,۲۷	۴۴,۹۹	۴۵,۱۱	۴۵,۲۹
TiO <sub>2</sub>	۰,۶۱	۰,۷۱	۰,۶۰	۰,۷۹	۰,۶۷	۰,۶۳	۰,۵۵	۰,۶۸
Al <sub>2</sub> O <sub>3</sub>	۱۱,۳۹	۱۰,۷۴	۱۱,۰۳	۱۰,۵۸	۱۱,۴۲	۱۰,۵۴	۱۰,۲۸	۹,۹۱
Cr <sub>2</sub> O <sub>3</sub>	۰,۱۲	۰,۰۵	۰,۰۲	۰,۰۱	۰,۰۱	۰,۰۲	۰,۰۶	۰,۰۰
Fe <sub>2</sub> O <sub>۳</sub>	۲,۶۲	۲,۹۷	۲,۵۳	۳,۵۴	۳,۶۷	۳,۹۲	۲,۲۹	۲,۶۶
FeO	۱۱,۸۳	۱۱,۶۳	۱۱,۹۲	۱۱,۲۷	۱۱,۶۶	۱۰,۴۹	۱۱,۱۲	۱۱,۶۶
MnO	۰,۲۷	۰,۲۸	۰,۲۹	۰,۲۸	۰,۲۷	۰,۳۰	۰,۲۶	۰,۲۹
MgO	۱۱,۹۰	۱۲,۱۰	۱۲,۱۷	۱۱,۹۹	۱۱,۸۵	۱۲,۴۷	۱۲,۴۹	۱۲,۴۷
CaO	۱۲,۰۶	۱۲,۰۵	۱۲,۱۰	۱۱,۸۴	۱۲,۰۶	۱۱,۹۷	۱۲,۰۴	۱۲,۱۳
Na <sub>2</sub> O	۱,۹۳	۱,۹۷	۲,۱۷	۱,۷۵	۲,۰۲	۱,۸۰	۱,۹۷	۱,۸۸
K <sub>2</sub> O	۰,۶۴	۰,۴۷	۰,۵۸	۰,۶۸	۰,۶۶	۰,۴۸	۰,۵۳	۰,۴۴
Total	۹۷,۹۹	۹۷,۶۱	۹۷,۹۴	۹۷,۳۵	۹۸,۵۶	۹۷,۶۱	۹۷,۲۰	۹۷,۴۱

## جدول ۷ داده‌های آنالیز نقطه‌ای پلازیوکلаз در برونویوم پیروکسن آمفیبولیتی.

نقطه	۱۱Plag	۱۲Plag	۱۳Plag	۱۴Plag	۱۵Plag	۱۶Plag	۱۷Plag	۱۸Plag	۱Qtz
موقعیت	کناره	هسته	هسته	کناره	هسته	هسته	میانه	هسته	هسته
SiO <sub>2</sub>	۵۹,۸۲	۵۷,۱۷	۵۷,۵۹	۶۰,۴۶	۵۶,۷۲	۵۷,۰۱	۵۹,۱۰	۵۶,۳۰	۵۷,۱۸
TiO <sub>2</sub>	۰,۱۲	۰,۰۱	۰,۰۰	۰,۰۱	۰,۰۰	۰,۰۰	۰,۰۲	۰,۰۱	۰,۰۲
Al <sub>2</sub> O <sub>۳</sub>	۲۴,۸۷	۲۶,۸۱	۲۵,۸۵	۲۴,۶۶	۲۷,۰۵	۲۷,۴۱	۲۵,۳۹	۲۷,۳۳	۲۶,۱۱
FeO	۰,۱۱	۰,۰۹	۰,۱۲	۰,۰۹	۰,۰۵	۰,۰۶	۰,۱۰	۰,۰۸	۰,۰۷
MnO	۰,۰۰	۰,۰۰	۰,۰۰	۰,۰۰	۰,۰۰	۰,۰۰	۰,۰۰	۰,۰۰	۰,۰۲
MgO	۰,۰۰	۰,۰۳	۰,۰۱	۰,۰۱	۰,۰۰	۰,۰۱	۰,۰۰	۰,۰۰	۰,۰۱
CaO	۷,۳	۹,۶۱	۸,۹۶	۸,۸۲	۱۰,۰۹	۱۰,۰۰	۷,۹۴	۱۰,۲۱	۸,۶۲
Na <sub>2</sub> O	۶,۷۱	۵,۴۹	۶,۰۵	۷,۰۱	۵,۴۴	۵,۵۰	۶,۴۲	۵,۴۷	۶,۲۶
K <sub>2</sub> O	۰,۵۱	۰,۳۰	۰,۳۳	۰,۴۰	۰,۱۸	۰,۲۱	۰,۳۳	۰,۲۵	۰,۳۲
Total	۹۹,۰۶	۹۹,۴۹	۹۸,۹۰	۹۹,۴۵	۹۹,۵۴	۱۰۰,۲۰	۹۹,۳۰	۹۹,۶۵	۹۸,۵۹

## ادامه جدول ۷ داده‌های آنالیز نقطه‌ای پلازیوکلاز در برونویوم پیروکسن آمفیبولیتی.

نقطه	۲Qtz	۱۹Plag	۲Plag	۲۱Plag	۲۲Plag	۲۴Plag	۲۵Plag	۲۶Plag
موقعیت	کناره	میانه	کناره	کناره	میانه	میانه	کناره	کناره
SiO <sub>2</sub>	۵۶,۶۸	۵۴,۴۸	۵۵,۱۲	۵۷,۵۹	۵۸,۲۲	۵۹,۳۰	۵۵,۳۱	۵۷,۵۵
TiO <sub>2</sub>	۰,۰۱	۰,۰۰	۰,۰۰	۰,۰۱	۰,۰۰	۰,۰۱	۰,۰۰	۰,۰۰
Al <sub>2</sub> O <sub>۳</sub>	۲۶,۴۵	۲۸,۱۴	۲۷,۶۱	۲۶,۸۲	۲۶,۱۲	۲۶,۲۵	۲۷,۷۹	۲۶,۹۵
FeO	۰,۰۵	۰,۰۷	۰,۱۱	۰,۱۸	۰,۰۹	۰,۱۳	۰,۰۹	۰,۰۹
MnO	۰,۰۰	۰,۰۱	۰,۰۰	۰,۰۰	۰,۰۰	۰,۰۱	۰,۰۰	۰,۰۰
MgO	۰,۰۰	۰,۰۱	۰,۰۰	۰,۰۰	۰,۰۰	۰,۰۱	۰,۰۰	۰,۰۱
CaO	۹,۱۸	۱۱,۳۵	۱۰,۶۶	۹,۵۹	۸,۶۳	۸,۷۹	۱۰,۹۸	۹,۷۲
Na <sub>2</sub> O	۵,۸۶	۴,۹۷	۵,۲۹	۵,۹۰	۶,۲۲	۶,۰۰	۴,۹۲	۵,۷۳
K <sub>2</sub> O	۰,۳۴	۰,۱۸	۰,۲۱	۰,۲۹	۰,۲۷	۰,۳۷	۰,۱۶	۰,۳۰
Total	۹۸,۵۷	۹۹,۲۰	۹۹,۰۰	۱۰۰,۳۸	۹۹,۵۵	۱۰۰,۸۵	۹۹,۱۳	۱۰۰,۳۵

## جدول ۹ نتایج آنالیز نقطه‌ای آمفیبول در پیروکسن آندزیت.

نقطه	۱Hbl	۲Hbl	نقطه	۱Px	۲Px	۳Px	۴Px	۵Px	۶Px
موقعیت	میانه	میانه	موقعیت	میانه	میانه	میانه	میانه	کناره	کناره
SiO <sub>2</sub>	۴۱,۰۶	۴۳,۰۷	SiO <sub>2</sub>	۵۲,۹۳	۵۳,۲۷	۵۳,۰۸	۵۳,۷۶	۵۳,۳۲	۵۴,۲۰
TiO <sub>2</sub>	۱,۶۹	۱,۶۹	TiO <sub>2</sub>	۰,۱۳	۰,۰۹	۰,۱۴	۰,۱۰	۰,۰۷	۰,۱۸
Al <sub>2</sub> O <sub>۳</sub>	۱۲,۸۸	۱۱,۳۷	Al <sub>2</sub> O <sub>۳</sub>	۰,۵۰	۰,۳۹	۰,۵۴	۰,۵۰	۰,۵۰	۰,۳۷
FeO	۱۲,۶۵	۱۲,۴۱	Fe <sub>2</sub> O <sub>۳</sub>	۱,۱۷	۰,۸۰	۰,۵۹	۰,۰۰	۰,۴۵	۰,۰۶
MnO	۰,۱۷	۰,۱۹	FeO	۱۷,۸۲	۱۷,۸۹	۱۸,۲۱	۱۹,۰۴	۱۸,۰۷	۱۶,۲۲
MgO	۱۳,۵۵	۱۴,۱۰	MnO	۲,۹۵	۳,۰۵	۳,۳۰	۲,۸۲	۲,۶۴	۱,۶۶
CaO	۱۱,۷۳	۱۱,۳۵	MgO	۲۲,۹۱	۲۳,۰۰	۲۲,۵۷	۲۳,۱۰	۲۳,۵۰	۲۵,۳۴
Na <sub>2</sub> O	۱,۹۵	۱,۸۵	CaO	۱,۲۷	۱,۲۶	۱,۲۷	۰,۸۱	۰,۹۱	۱,۴۶
K <sub>2</sub> O	۱,۰۴	۰,۹۷	Na <sub>2</sub> O	۰,۰۳	۰,۰۴	۰,۰۴	۰,۰۰	۰,۰۱	۰,۰۱
Total	۹۶,۷۱	۹۶,۹۹	K <sub>2</sub> O	۰,۰۰	۰,۰۰	۰,۰۰	۰,۰۰	۰,۰۰	۰,۰۰
			Total	۹۹,۷۱	۹۹,۷۹	۹۹,۷۵	۱۰۰,۱۳	۹۹,۴۷	۹۹,۴۹

**جدول ۱۰ نتایج آنالیز نقطه‌ای پلازیوکلаз در پیروکسن آندزیت و بخش سیلیکات پیروکسن آندزیت.** آهکی در برونبوم.

نقطه	Biot <sup>۴</sup>	Biot <sup>۵</sup>	نقطه	۱PI	۲PI	۳PI	۴PI	۵PI	۶PI	۷PI	۸PI	۹PI	۱۰PI	۱۲Fsp	کالک سیلیکاته
SiO <sub>2</sub>	۳۵.۹۴	۳۶.۵۵	موقعیت	کناره	میانه	کناره	میانه	کناره	میانه	کناره	میانه	میانه	هسته	۴۵.۴۰	
TiO <sub>2</sub>	۳.۸۷	۳.۸۷	SiO <sub>2</sub>	۵۸.۴۸	۵۵.۶۹	۵۷.۸۲	۵۷.۷۸	۶۰.۹۹	۵۵.۴۴	۵۷.۰۰	۵۷.۷۵	۵۸.۵۳			
Al <sub>2</sub> O <sub>3</sub>	۱۷.۸۰	۱۸.۵۳	TiO <sub>2</sub>	۰.۱	۰.۰	۰.۴	۰.۴	۰.۳	۰.۲	۰.۰	۰.۱	۰.۰	۰.۱		
FeO	۹.۶۳	۹.۲۰	Al <sub>2</sub> O <sub>3</sub>	۲۶.۱۸	۲۷.۱۴	۲۶.۹۷	۲۶.۱۳	۲۴.۴۴	۲۷.۳۵	۲۶.۱۸	۲۵.۷۹	۲۶.۲۳		۳۴.۲۴	
MnO	۰.۱۲	۰.۱۲	FeO	۰.۱۷	۰.۱۸	۰.۱۳	۰.۱۶	۰.۲۸	۰.۲۴	۰.۲۱	۰.۱۹	۰.۱۹		۰.۱۸	
MgO	۱۷.۵۹	۱۸.۰۰	MnO	۰.۰	۰.۰۲	۰.۰	۰.۰۱	۰.۰۱	۰.۰	۰.۰۰	۰.۰۰	۰.۰		۰.۰۰	
CaO	۰.۰۱	۰.۰۲	MgO	۰.۰۱	۰.۰۱	۰.۰۱	۰.۰۱	۰.۰۲	۰.۰۲	۰.۰۱	۰.۰۲	۰.۰۱		۰.۰۱	
Na <sub>2</sub> O	۰.۴۱	۰.۳۸	CaO	۸.۵۸	۱۰.۴۴	۹.۲۸	۹.۰۷	۶.۴۵	۱۰.۲۶	۹.۳۲	۸.۶۹	۸.۷۱		۱۸.۲۰	
K <sub>2</sub> O	۹.۴۱	۹.۴۵	Na <sub>2</sub> O	۶.۴۲	۵.۴۰	۵.۹۲	۶.۰۷	۷.۴۹	۵.۷۱	۶.۱۵	۶.۲۰	۶.۱۸		۱.۲۷	
Total	۹۴.۷۷	۹۶.۱۳	K <sub>2</sub> O	۰.۴۶	۰.۲۹	۰.۳۶	۰.۳۶	۰.۶۱	۰.۳۵	۰.۳۶	۰.۴۱	۰.۳۹		۰.۱۴	
	Total	۱۰۰.۲۹	۹۹.۱۶	۱۰۰.۶۳	۹۹.۶۲	۱۰۰.۳۰	۹۹.۳۹	۹۹.۲۳	۹۹.۰۶	۱۰۰.۲۴	۹۹.۳۴				

**جدول ۱۱ نتایج آنالیز نقطه‌ای پلازیوکلاز در پیروکسن آندزیت و بخش سیلیکات آهکی در برونبوم.**

نقطه	۱Woll	۲Woll	۳Woll	۴Woll	۵Woll	۶Woll	۷Woll	۱۱Fsp	۴Grs
SiO <sub>2</sub>	۳۶.۷۰	۳۷.۰۶	۳۷.۸۶	۳۶.۹۳	۳۶.۱۵	۳۵.۹۰	۳۵.۱۰	۳۴.۴۶	۵۹.۰۹
TiO <sub>2</sub>	۰.۰۲	۰.۰۱	۰.۰۰	۰.۰۲	۰.۰۰	۰.۰۰	۰.۰۲	۰.۰۱	۰.۰۱
Al <sub>2</sub> O <sub>3</sub>	۰.۷۸	۰.۸۳	۰.۱۹	۰.۷۵	۰.۷۷	۰.۷۸	۱.۰۲	۱.۰۰	۱۹.۱۳
FeO	۰.۰۶	۰.۱۰	۰.۰۲	۰.۳۵	۰.۱۰	۰.۱۲	۰.۱۷	۰.۱۵	۰.۰۵
MnO	۰.۰۵	۰.۰۸	۰.۰۱	۰.۱۰	۰.۱۱	۰.۰۹	۰.۱۰	۰.۱۲	۰.۰۱
MgO	۰.۰۱	۰.۰۰	۰.۰۰	۰.۳۳	۰.۰۰	۰.۰۰	۰.۰۰	۰.۰۱	۰.۰۲
CaO	۳۲.۱۴	۳۱.۷۷	۳۲.۶۰	۳۱.۴۲	۳۱.۷۰	۳۱.۹۹	۳۱.۰۸	۳۱.۶۷	۹.۴۴
Na <sub>2</sub> O	۰.۰۹	۰.۱۰	۰.۰۱	۰.۱۷	۰.۱۲	۰.۰۹	۰.۱۰	۰.۱۱	۰.۱۴
K <sub>2</sub> O	۰.۰۰	۰.۰۰	۰.۰۰	۰.۰۰	۰.۰۰	۰.۰۰	۰.۰۰	۰.۰۰	۰.۱۶
Total	۶۹.۸۴	۶۹.۹۵	۷۱.۶۹	۷۰.۰۷	۶۸.۹۴	۶۸.۹۸	۶۷.۵۸	۶۷.۵۲	۸۸.۰۴

**ادامه جدول ۱۲ نتایج آنالیز نقطه‌ای فلدسپار در برونبوم برگه‌ای.**

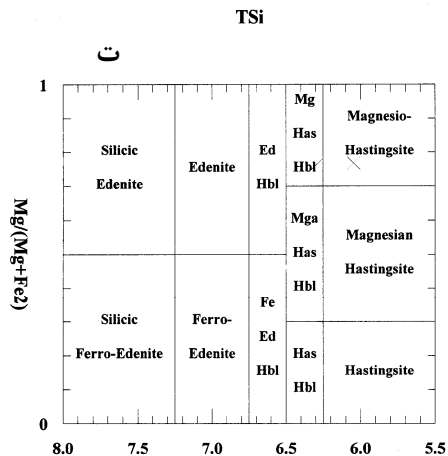
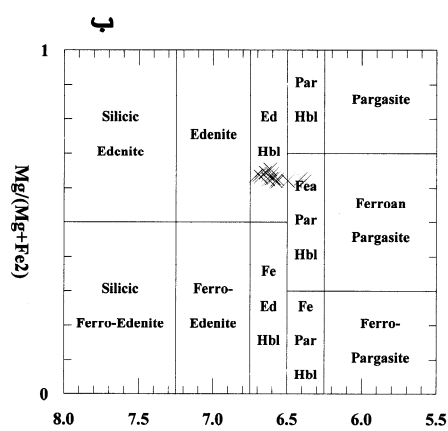
نقطه	۶Fsp	۱۰Fsp	۱۶Fsp	۱۷Fsp	نقطه	۲Fsp	۴Fsp	۵Fsp	۷Fsp	۸Fsp	۹Fsp	۱۱Fsp	۱۲Fsp	۱۳Fsp	۱۴Fsp	۱۵Fsp
SiO <sub>2</sub>	۶۱.۴۱	۶۰.۰۸	۶۰.۶۵	۶۰.۸۱	SiO <sub>2</sub>	۶۲.۷۵	۶۶.۹	۶۴.۹۸	۶۵.۳۸	۶۵.۹۹	۶۵.۹۴	۶۴.۸۹	۶۵.۶۰	۶۶.۰۴	۶۵.۳۶	۶۷.۱۱
TiO <sub>2</sub>	۰.۰۰	۰.۰۵	۰.۰۱	۰.۰۲	TiO <sub>2</sub>	۰.۰۶	۰.۰۳	۰.۰۳	۰.۰۴	۰.۰۱	۰.۰۵	۰.۰۳	۰.۰۲	۰.۰۵	۰.۰۳	۰.۰۰
Al <sub>2</sub> O <sub>3</sub>	۱۷.۵۷	۱۷.۵۱	۱۸.۲۷	۱۷.۹۱	Al <sub>2</sub> O <sub>3</sub>	۲۴.۰۶	۱۹.۱۹	۱۹.۱۲	۱۹.۳۵	۱۹.۴۷	۱۸.۸۴	۱۸.۸۸	۱۹.۱۶	۱۸.۸۰	۱۹.۳۵	۱۸.۸۳
FeO	۰.۱۴	۰.۳۲	۰.۰۴	۰.۰۴	FeO	۰.۱۴	۰.۱۷	۰.۰۶	۰.۱۹	۰.۰۷	۰.۱۳	۰.۱۱	۰.۱۳	۰.۰۵	۰.۰۱	۰.۰۶
MnO	۰.۰۰	۰.۰۱	۰.۰۰	۰.۰۰	MnO	۰.۰۱	۰.۰۰	۰.۰۰	۰.۰۰	۰.۰۰	۰.۰۱	۰.۰۰	۰.۰۰	۰.۰۰	۰.۰۰	۰.۰۰
MgO	۰.۰۰	۰.۰۲	۰.۰۰	۰.۰۱	MgO	۰.۰۰	۰.۰۰	۰.۰۰	۰.۰۰	۰.۰۰	۰.۰۱	۰.۰۰	۰.۰۰	۰.۰۰	۰.۰۱	۰.۰۱
CaO	۸.۶۵	۸.۸۳	۸.۸۰	۸.۸۰	CaO	۴.۸۸	۰.۴۵	۰.۲۸	۰.۵۱	۰.۳۷	۰.۲۹	۰.۱۹	۰.۳۲	۰.۰۳	۰.۳۱	۰.۰۴
Na <sub>2</sub> O	۰.۲۲	۰.۱۸	۰.۲۲	۰.۲۳	Na <sub>2</sub> O	۸.۲۲	۲.۲۶	۲.۲۵	۳.۴۵	۲.۸۸	۲.۸۲	۲.۹۲	۳.۱۳	۳.۳۴	۳.۳۰	۳.۴۷
K <sub>2</sub> O	۰.۱۸	۰.۱۷	۰.۱۸	۰.۱۹	K <sub>2</sub> O	۰.۵۱	۱۱.۵۹	۱۱.۱۹	۱۲.۱۹	۱۲.۳۹	۱۲.۰۸	۱۱.۷۸	۱۱.۸۹	۱۱.۶۰	۱۱.۵۲	
Total	۸۸.۱۸	۸۷.۱۷	۸۸.۱۶	۸۷.۷۰	Total	۱۰۰.۶۳	۱۰۰.۷۶	۹۹.۱۵	۱۰۰.۱۱	۱۰۰.۹۸	۱۰۰.۴۷	۹۹.۱۱	۱۰۰.۱۴	۱۰۰.۲۱	۹۹.۹۶	۱۰۱.۰۴

گستره‌ی بین آنیت-فلوگوپیت (شکل ۶ الف)، میکاهای سنگ میزبان نمونه‌ی پیروکسن آندزیتی در گستره‌ی آندزیت-فلوگوپیت و میکاهای نوار برگه‌ای برونبوم تقریباً در مرز بین فلوگوپیت و ایستونیت (شکل ۶ ب) قرار می‌گیرند.

به نظر [۱۷] در نمودار An-Ab-Or، پلازیوکلازهای دارای منطقه‌بندی نوسانی سنگ میزبان نمونه آندزیت داسیتی در گستره اواسط تا اواخر اولیگوکلاز و پلازیوکلازهای وابسته به برونبوم در گستره اویل آندزین تا اواسط لابرادوریت (شکل ۷ الف)، ترکیب پلازیوکلازهای دارای منطقه‌بندی نوسانی سنگ میزبان نمونه پیروکسن آندزیتی در گستره اویل تا اواخر

به نظر [۱۵] در نمودار BCa + BNa نسبت به آمفيبولهای وابسته به سنگ میزبان آندزیتی و برونبومها در گروه کلسیک و در نمودار Mg/(Mg + Fe + 2) نسبت به TSi، بیشتر نقاط معرف ترکیب آمفيبولهای نمونه آندزیت داسیتی در گستره‌ی ادیت هورنبلند و تعداد کمی در گستره‌ی فروئن پارگازیت هورنبلند (شکل ۵ الف و ب) و آمفيبولهای سنگ میزبان پیروکسن آندزیتی در گستره‌های هاستینگزیت و منیزیم هاستینگزیت هورنبلند (شکل ۵ پ و ت) جای می‌گیرند. برابر [۱۶] در نمودار AIIV نسبت به Fe/(Fe + Mg) میکاهای وابسته به سنگ میزبان نمونه آندزیت داسیتی در

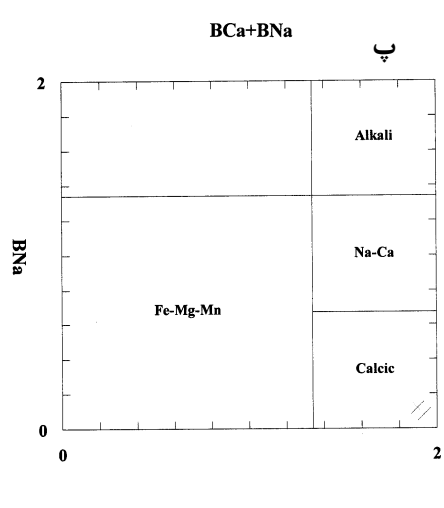
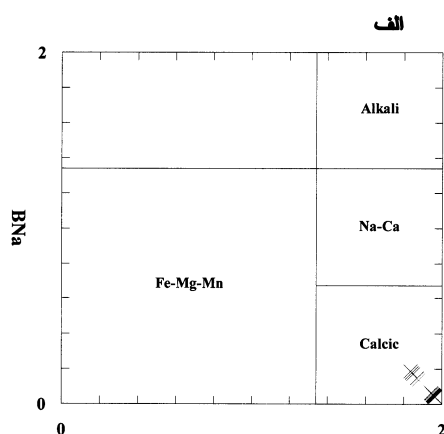
گستره‌ی گسترهای از دما ( $400^{\circ}\text{C}$ - $1150^{\circ}\text{C}$ ) و فشار ( $23\text{Kb}$ - $23\text{Kb}$ )<sup>۱۵</sup> ۱) تشکیل می‌شوند [۲۰]. مقدار  $\text{Ti}, \text{Ca}, \text{Na}$  و  $\text{Al}$  موجود در ترکیب آمفیبول، به فشار، دما و گریزندگی اکسیژن بستگی دارد. کاتیون‌های مثل  $\text{Ti}, \text{Al}$  کل و  $\text{Al}$  موقعیت‌های چهار وجهی نیز نسبت به دما حساس‌اند، به طوری که افزایش دما، باعث افزایش میزان  $\text{Ti}$  و نیز افزایش مقدار  $\text{AlIV}$  می‌شود [۲۱]. به ازای هر  $100^{\circ}\text{C}$  افزایش دما، به طور معمول حدود  $0.3$  کاتیون به میزان  $\text{AlIV}$  اضافه می‌شود. بر عکس  $\text{AlIV}$  مقدار  $\text{AlVI}$  مناسب با افزایش فشار، زیاد شده و دما، بر آن بی‌تأثیر است. برآورد مقدار  $\text{AlVI}$  و  $\text{AlTotal}$ ، اساس اندازه گیری فشار بر پایه‌ی ترکیب آمفیبول است؛ چون مقدار  $\text{Al}$  موجود در آمفیبول، تابع غلظت آن در مagma مادر نبود، و به فشار حاکم در زمان تبلور آن بستگی دارد. مقدار  $\text{Si}$  موجود در آمفیبول، تابع مقدار آن در magma بوده و دما و فشار بر آن بی‌تأثیر است.



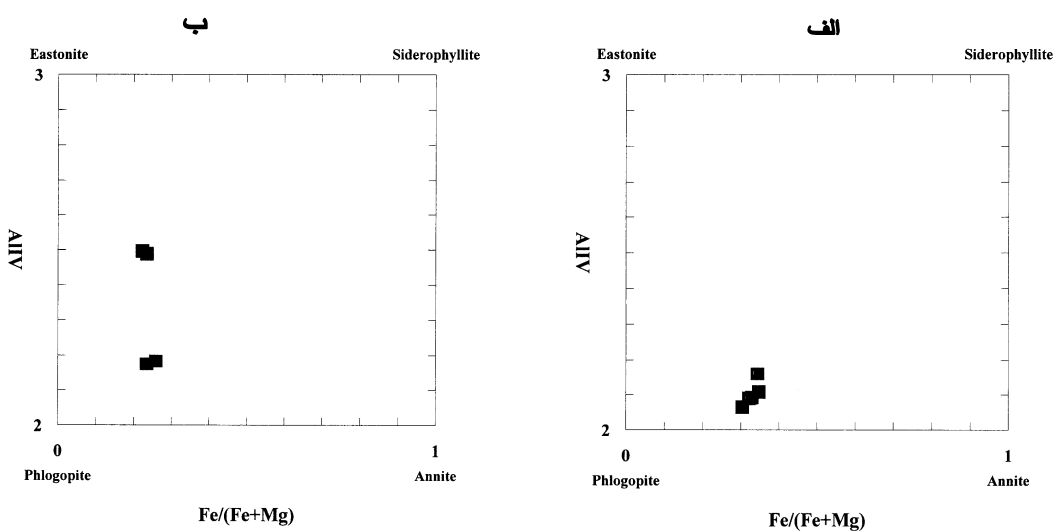
آنذین و به ندرت اوایل لابرادوریت و پلازیوکلازهای نوار برگه-ای برونبوم در گسترهای اولیگوکلاز (در حدود  $25\%$  آنورتیت) و پلازیوکلازهای نوار کالک سیلیکات آهکی در اواخر بیتوئیت و فلدسپارهای پتاسیم نوار برگه‌ای در گسترهای سانیدین (شکل ۷) قرار گرفته‌اند.

بر اساس [۱۸] در نمودار (Ca-Mg-Fe-Cpx) En-Fs-Wo، کلینوپیروکسن‌های نمونه آنذیت داسیتی در گسترهای دیوپسید (شکل ۸) و پیروکسن‌های برونبوم برگه‌ای-سیلیکات آهکی درون پیروکسن آنذیت در گسترهای هدنبرژیت (نمودار ۴) و پیروکسن‌های میزان در گسترهای انستابیت قرار می‌گیرند.

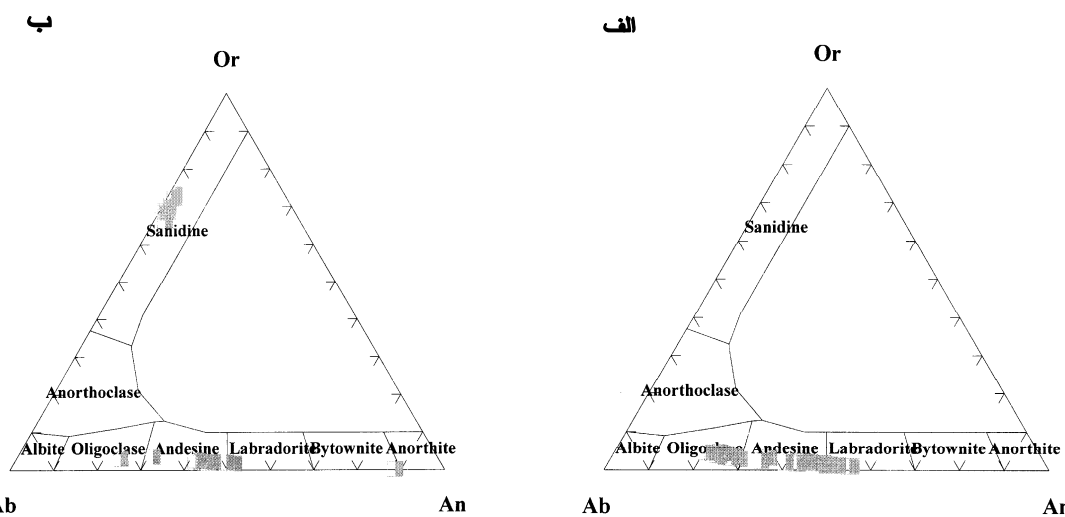
**زمین دما-فشارسنجی**  
آمفیبول‌ها، از نظر ترکیب شیمیائی و ساختار کانی شناسی دارای گوناگونی چشمگیری بوده [۱۹] به نحوی که در محدوده وسیعی از سنگ‌های آذرین فلسلیک، حدواتر و مافیک و در



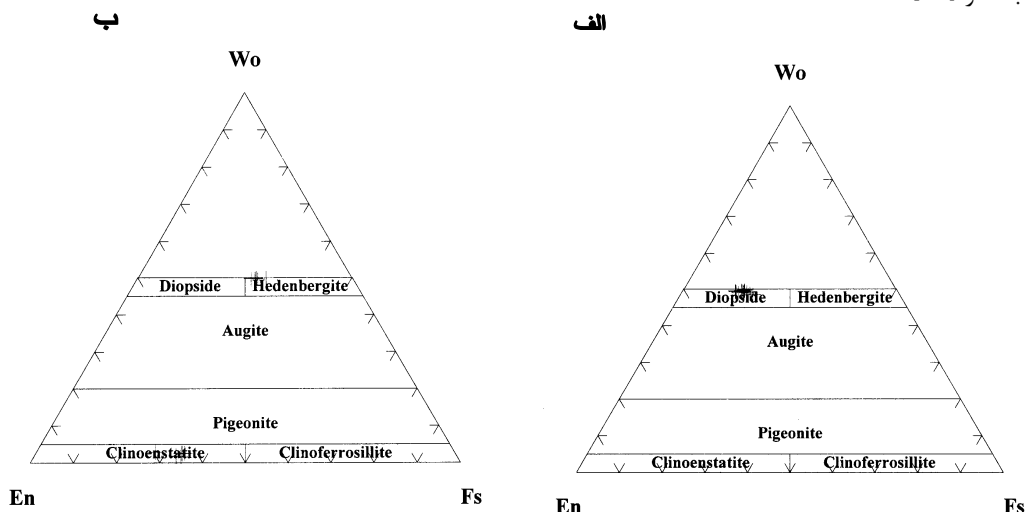
شکل ۵ ترکیب آمفیبول‌های الف و ب) وابسته به آنذیت داسیتی و برونبوم آمفیبولیتی آن، پ و ت) وابسته به پیروکسن آنذیت از نظر [۱۵].



شکل ۶ ترکیب میکاهای (الف) وابسته به آندزیت داسیت و برونبوم آمفیبولیتی آن و (ب) وابسته به پیروکسن آندزیت و برونبوم برگه‌ای آن به نظر [۱۶].



شکل ۷ (الف) ترکیب پلاژیوکلازهای وابسته به آندزیت داسیتی و (ب) پلاژیوکلازهای وابسته به پیروکسن آندزیت و فلدسپارهای پتابسیم درون برونبوم برگه‌ای به نظر [۱۷].



شکل ۸ (الف) ترکیب پیروکسن‌های (الف) وابسته به آندزیت داسیتی و (ب) وابسته به پیروکسن آندزیت و بخش سیلیکات آهکی برونبوم بر اساس [۱۸].

شده است [۲۶] (جدول ۱۵). این دماستج در سنگ‌های آدرین فلزیک و حد واسطی که دارای کوارتز، پلازیوکلاز با  $\% ۹۲$   $\leq Si$  و آمفیبول‌های با  $7/8$  هستند کاربرد داشته و برای دماهای  $۵۰۰$  تا  $۱۱۰۰$  درجه‌ی سانتیگراد، همسنجی شده است [۲۶]:

$$T [\pm 311^{\circ}K] = 0.667 P[Kbar] - 48.98 + YAb / - 0.0429 - 0.0083144 \ln\{(Si - 4) / (8-Si)XAb\}$$

در این رابطه،  $T$  دمای تعادلی بر حسب درجه‌ی کلوین،  $P$  فشار بر حسب کیلوبار،  $Si$  تعداد کاتیون‌های سیلیس در فرمول ساختاری آمفیبول،  $XAb$  مقدار درصد آلبیت در پلازیوکلاز است. مقدار  $YAb$  از روابط زیر محاسبه می‌شود:

$$XAb > 0.5 \rightarrow YAb = 0 \\ XAb < 0.5 \rightarrow YAb = 8.06 + 25.5(1 - XAb)$$
(2)

#### برداشت

بررسی‌های صحرائی و مقایسه پروتولیت برونبوم‌های دگرگونی با واحدهای آمیزه افیولیتی و شبه پلیتی کرتاسه و پالئوسن منطقه و نیز مقایسه کانی‌شناسی و شیمی‌کانی‌ها نشان می‌دهد که زینولیت‌ها دارای دو پروتولیت متفاوت شبه پلیتی و شبه بازی بوده‌اند که به ترتیب بقایای سنگ‌های فلیشی و بازی آمیزه، افیولیتی شرق کشور به شمار می‌آیند. زینولیت‌های شبه پلیتی شامل اسلیت، فیلیت و میکاشیست‌ها هستند که تحت تأثیر دمای ماگما هورنفلسی شده‌اند. زینولیت‌های بازی منطقه آمفیبولیتی هستند. شواهد کانی‌شناسی و بافتی حکایت از اعمال دو نوع دگرگونی دماجنبشی و همبryی برونبوم‌های دارد. در طول دگرگونی دماجنبشی پروتولیت اولیه این برونبوم‌ها، یعنی فلیش‌ها و سنگ‌های آمیزه افیولیتی تا حد اواخر رخساره‌ی آمفیبولیت دگرگون شده‌اند به طوری که فلیش‌ها به اسلیت، فیلیت و میکاشیست و سنگ‌های بازی به آمفیبولیت تبدیل شده‌اند. در طول دگرگونی همبryی ناشی از سقوط برونبوم‌ها به درون ماجمای مادر سنگ‌های آتشفسانی، در اسلیت‌ها و فیلیت‌ها، بافت‌های لکه‌ای و در میکاشیست‌ها کانی‌های آندالوزیت، سیلیمانیت، کردیریت، کرونندوم و هرسی نیت تشکیل و آثار برگوارگی محو شده است. در آمفیبولیت‌ها نیز هورنبلندهای قهقهه‌ای تشکیل شده در اواخر رخساره آمفیبولیت

زمین‌فشارسنجی بر اساس مقدار آلومینیوم موجود در هورنبلند

ترکیب آمفیبول، علاوه بر فشار به درجه حرارت، فوگاسیته اکسیژن، ترکیب کل و فازهای همزیست وابسته می‌باشد [۲۱]. با لحاظ پارامترهای فوق، به ویژه میزان AlTotal آمفیبول، تا به حال فرمول‌های متعددی، برای برآورد فشار ارائه شده که بهترین آنها [۲۲] می‌باشد. طبق این ژئوبارومتر، فشار از رابطه زیر به دست می‌آید (جدول ۱۴):

$$P [\pm 0.6 Kbar] = -3.01 + 4.76 AlTotal$$

در این فرمول،  $P$ ، فشار بر حسب کیلوبار و میزان آلومینیوم کل در ترکیب آمفیبول است.

#### زمین‌دماستجی

برای دماستجی نمونه‌های منطقه، از [۱۹] استفاده شد (جدول ۱۴). در این ارزیابی آنها ارتباط‌های ممکن بین فشار، دما و ترکیب شیمیائی، فرمول زیر را برای اندازه گیری دما ارائه کرده‌اند:

$$T = 25.3P + 654.9$$

در این رابطه،  $D$ ، دما، بر حسب درجه‌ی سانتیگراد و فشار، بر حسب کیلوبار است.

روش دیگر دماستجی استفاده از ترکیب هورنبلند و پلازیوکلاز است. هر چند هنوز تردیدهایی در مورد روش دماستجی هورنبلند-پلازیوکلاز وجود دارد، ولی، فعلایکی از روش‌های رایج برای دماستجی سنگ‌های آهکی-قلیایی به حساب می‌آید [۲۴]. برای محاسبه دما، با این روش، بایستی زوج درشت بلورهای آمفیبول کلسیم‌دار و پلازیوکلاز به صورت همزیست بوده و آمفیبول‌ها، قادر حاشیه اکتینولیتی باشند [۲۵]. این روش زمین-دماستجی، از یک زمین-دماستج تبادلی استفاده می‌شود که بر اساس واکنش‌های زیر انجام می‌گیرد [۲۵]:

$$\text{ادنیت} + 4 \text{ کوارتز} = \text{ترمولیت} + \text{آلبیت}$$

$$\text{ادنیت} + \text{آلبیت} = \text{ریشتریت} + \text{آنورتیت}$$

واکنش اول برای سنگ‌های دارای کوارتز و واکنش دوم بدون سنگ‌های کوارتز است [۲۵]. بر اساس واکنش ادنیت-ترمولیت فرمول زیر برای دماستجی آمفیبول-پلازیوکلاز ارائه

۵-۷ معادل عمق Km ۲۰-۲۸ بوده که بیشترین آن مربوط به هورنبلندهای قهقهه‌ای هسته‌ی مرکزی بوده و کمترین مقادیر به بخش کناری آنها وابسته‌اند که مشابه هورنبلندهای سبز سنگ میزبانند.

دگرگونی دماجنبشی، دوباره به هورنبلند سبز تبدیل شده است. دمای تشکیل هورنبلندهای موجود در آندزیت داسیتی  $821^{\circ}\text{C}$ - $847\text{ Kbar}$  و فشار مربوطه  $3,6-6,5\text{ Kbar}$  معادل اعماق ۲۶-۲۴ Km است. دمای تشکیل هورنبلندهای موجود در برونبوم آمفیبولیتی  $830^{\circ}\text{C}$ - $786\text{ Kbar}$  و فشار تشکیل آنها

**جدول ۱۴** دما و فشار برآورد شده برای آندزیت‌های داسیتی کوه بارنده و برونبوم آمفیبولیتی آن.

شماره	نوع سنگ	نقطه تجزیه شده	[۲۸] P بر اساس (Kbar)	[۲۹] T( $^{\circ}\text{C}$ ) بر اساس
۲۶۴	آندزیت داسیتی	Hbl۱ (کناره)	۶,۱۹۵۸۴	۸۱۱,۶۵۴۷۵
۲۶۴	آندزیت داسیتی	Hbl۲ (هسته)	۶,۵۶۷۱۲	۸۲۱,۰۴۸۱۳
۲۶۴	آندزیت داسیتی	Hbl۳ (هسته)	۴,۴۱۰۸۴	۷۶۶,۴۹۴۲۵
۲۶۴	آندزیت داسیتی	Hbl۴ (کناره)	۵,۳۶۲۸۴	۷۹۰,۵۷۹۸۵
۲۶۴	آندزیت داسیتی	Hbl۵ (میانه)	۳,۷۸۷۷۲۸	۷۵۰,۷۱۸۱۸
۲۶۴	آندزیت داسیتی	Hbl۶ (کناره)	۳,۶۳۰۲	۷۴۶,۷۴۴۰۶
۲۶۴	برونبوم آمفیبولیتی	Hbl۷ (هسته قهقهه‌ای)	۶,۹۰۵۰۸	۸۲۹,۵۹۸۵۲
۲۶۴	برونبوم آمفیبولیتی	Hbl۸ (کناره سبز)	۶,۱۰۵۴	۸۰,۹۳۶۶۶۲
۲۶۴	برونبوم آمفیبولیتی	Hbl۹ (هسته قهقهه‌ای)	۵,۴۴۳۷۶	۷۹۲,۶۲۷۱۲
۲۶۴	برونبوم آمفیبولیتی	Hbl۱۰ (هسته قهقهه‌ای)	۵,۵۱۹۹۲	۷۹۴,۵۵۳۹۷
۲۶۴	برونبوم آمفیبولیتی	Hbl۱۱ (هسته قهقهه‌ای)	۵,۵۷۷۰۴	۷۹۵,۹۹۹۱۱
۲۶۴	برونبوم آمفیبولیتی	Hbl۱۲ (میانه سبز)	۵,۷۶۷۴۴	۸۰۰,۸۱۶۲۳
۲۶۴	برونبوم آمفیبولیتی	Hbl۱۳ (کناره سبز)	۶,۳۸۶۲۴	۸۱۶,۴۷۱۸۷
۲۶۴	برونبوم آمفیبولیتی	Hbl۱۴ (هسته قهقهه‌ای)	۶,۹۶۶۹۶	۸۳۱,۱۶۴۰۸
۲۶۴	برونبوم آمفیبولیتی	Hbl۱۵ (هسته قهقهه‌ای)	۵,۷۱۵۰۸	۷۹۹,۴۹۱۵۲
۲۶۴	برونبوم آمفیبولیتی	Hbl۱۶ (هسته قهقهه‌ای)	۵,۸۵۷۸۸	۸۰,۳۱۰۴۳۶
۲۶۴	برونبوم آمفیبولیتی	Hbl۱۷ (هسته قهقهه‌ای)	۶,۱۰۵۴	۸۰,۹۳۶۶۶۲
۲۶۴	برونبوم آمفیبولیتی	Hbl۱۸ (کناره سبز)	۵,۶۸۱۷۶	۷۹۸,۶۴۸۵۲
۲۶۴	برونبوم آمفیبولیتی	Hbl۱۹ (هسته قهقهه‌ای)	۵,۳۲۹۵۲	۷۸۹,۷۳۶۸۵
۲۶۴	برونبوم آمفیبولیتی	Hbl۲۰ (هسته قهقهه‌ای)	۶,۳۸۱۴۸	۸۱۶,۳۵۱۴۴
۲۶۴	برونبوم آمفیبولیتی	Hbl۲۱ (هسته قهقهه‌ای)	۵,۸۷۶۹۲	۸۰,۳۵۸۶۰۷
۲۶۴	برونبوم آمفیبولیتی	Hbl۲۲ (کناره سبز)	۵,۵۱۵۱۶	۷۹۴,۴۳۳۵۴
۲۶۴	برونبوم آمفیبولیتی	Hbl۲۳ (کناره سبز)	۵,۱۹۶۲۴	۷۸۶,۳۶۴۸۷

جدول ۱۵ فشار و دما محاسبه شده برای آندزیت داسیتی کوه بارنده و زینولیت‌های آمفیبولیتی آن [۲۶].

نمونه	نوع سنگ	نقطه	دما و فشار بر پایه [۲۶]
۲۶۴	آندزیت داسیتی	hbl۱	P . ۵ ۱۰ ۱۵ kbar T (ed-tr) ۷۷۴ ۷۴۷ ۷۲۱ ۶۹۴ degC T (ed-ri) ۷۱۳ ۷۳۹ ۷۶۵ ۷۹۱ degC
۲۶۴	انکلاو آمفیبولیتی	hbl۸	P . ۵ ۱۰ ۱۵ kbar T (ed-tr) ۷۱۹ ۷۰۷ ۶۹۶ ۶۸۴ degC T (ed-ri) ۶۵۸ ۶۹۱ ۷۲۴ ۷۵۸ degC
۲۶۴	انکلاو آمفیبولیتی	hbl۸	P . ۵ ۱۰ ۱۵ kbar T (ed-tr) ۷۲۵ ۷۱۴ ۷۰۲ ۶۹۰ degC T (ed-ri) ۶۶۵ ۶۹۸ ۷۳۲ ۷۶۵ degC
۲۶۴	انکلاو آمفیبولیتی	hbl۱۳	P . ۵ ۱۰ ۱۵ kbar T (ed-tr) ۷۴۴ ۷۳۱ ۷۱۹ ۷۰۶ degC T (ed-ri) ۶۷۹ ۷۱۲ ۷۴۶ ۷۷۹ degC
۲۶۴	انکلاو آمفیبولیتی	hbl۱۳	P . ۵ ۱۰ ۱۵ kbar T (ed-tr) ۷۳۸ ۷۲۵ ۷۱۲ ۷۰۰ degC T (ed-ri) ۶۷۳ ۷۰۵ ۷۳۸ ۷۷۱ degC
۲۶۴	انکلاو آمفیبولیتی	hbl۱۶	P . ۵ ۱۰ ۱۵ kbar T (ed-tr) ۷۶۸ ۷۵۲ ۷۳۶ ۷۱۹ degC T (ed-ri) ۶۷۸ ۷۲۱ ۷۵۵ ۷۹۰ degC
۲۶۴	انکلاو آمفیبولیتی	hbl۲۰	P . ۵ ۱۰ ۱۵ kbar T (ed-tr) ۷۴۵ ۷۳۲ ۷۱۹ ۷۰۶ degC T (ed-ri) ۶۷۸ ۷۳۹ ۷۷۱ ۸۰۴ degC
۲۶۴	انکلاو آمفیبولیتی	hbl۲۱	P . ۵ ۱۰ ۱۵ kbar T (ed-tr) ۷۷۸ ۷۵۷ ۷۳۵ ۷۱۳ degC T (ed-ri) ۷۰۰ ۷۳۱ ۷۶۲ ۷۹۲ degC
۲۶۴	آندزیت داسیتی	hbl۱	P . ۵ ۱۰ ۱۵ kbar T (ed-tr) ۷۸۲ ۷۵۵ ۷۲۸ ۷۰۲ degC T (ed-ri) ۷۲۶ ۷۵۲ ۷۷۸ ۸۰۵ degC
۲۶۴	آندزیت داسیتی	hbl۴	P . ۵ ۱۰ ۱۵ kbar T (ed-tr) ۷۷۳ ۷۴۶ ۷۲۰ ۶۹۳ degC T (ed-ri) ۷۱۱ ۷۳۷ ۷۶۳ ۷۸۹ degC
۲۶۴	آندزیت داسیتی	hbl۴	P ۰ ۵ ۱۰ ۱۵ kbar T (ed-tr) ۷۵۹ ۷۲۸ ۶۹۶ ۶۶۴ degC T (ed-ri) ۷۱۴ ۷۳۸ ۷۶۲ ۷۸۶ degC
۲۶۴	آندزیت داسیتی	hbl۱	P . ۵ ۱۰ ۱۵ kbar T (ed-tr) ۷۶۷ ۷۳۵ ۷۰۳ ۶۷۱ degC T (ed-ri) ۷۲۷ ۷۵۱ ۷۷۶ ۸۰۰ degC
۲۶۴	آندزیت داسیتی	hbl۴	P . ۵ ۱۰ ۱۵ kbar T (ed-tr) ۷۵۸ ۷۲۷ ۶۹۵ ۶۶۳ degC T (ed-ri) ۷۱۲ ۷۳۶ ۷۶۰ ۷۸۴ degC
۲۶۴	آندزیت داسیتی	hbl۶	P . ۵ ۱۰ ۱۵ kbar T (ed-tr) ۷۶۳ ۷۱۷ ۶۷۱ ۶۲۴ degC T (ed-ri) ۷۱۸ ۷۳۴ ۷۴۹ ۷۶۴ degC
۲۶۴	آندزیت داسیتی	hbl۶	P . ۵ ۱۰ ۱۵ kbar T (ed-tr) ۷۶۲ ۷۱۶ ۶۷۰ ۶۲۳ degC T (ed-ri) ۷۱۷ ۷۳۲ ۷۴۷ ۷۶۲ degC

- commission on new minerals and mineral names", Eur. J. mineral, 9 (1997) 623-651.*
- [12] Rieder M., Cavazzini G., D'yakonov Y., Frank-Kamenetskii V.A., Gottardi G., Guggenheim S., Koval P.V., Muller G., Neiva A.M.R., Radoslovich E., Robert J.L., Sassi F.P., Takeda H., Weiss Z., Wones D., "Nomenclature of the micas", The Canadian Mineralogist 36, (1998) x-xx.
- [13] Deer W.A., Howie R.A., Zussman J., "An introduction to the rock-forming minerals", Longman Scientific & Technical, (1991) 528p.
- [14] Morimoto N., "Nomenclature of pyroxenes", Mineralogical Magazine, 52 (1988) 535-550.
- [15] Esawi E.K., "AMPH-CLASS: An excel spreadsheet for the classification and nomenclature of amphibole based on the 1997 recommendations of the international mineralogical Association", Computers Geosciences, 30 (2004) 753-760.
- [16] Blundy J.D., Holland T.J.B., "Calcic amphibole equilibria and a new amphibole-plagioclase geothermometer", Contrib Mineral Petrol 104 (1990) 208-224.
- [17] Hammarstrom Jane. M., E-AN Zen., "Aluminum in hornblende: An empirical igneous geobarometer", American Mineralogist 71 (1986) 1297-1313.
- [18] Schmidt M.W., "Amphibole composition in tonalite as a function of pressure: an experimental calibration of the Al-in hornblende barometer", Contrib Mineral Petrol 110 (1992) 304-310.
- [19] Vynhal C.R., McSween H.Y., Jr., "Hornblende chemistry in southern Appalachian granitoids Implications for aluminum hornblende thermobarometry and magmatic epidote stability", Am. Mineral. 76 (1991) 176-188.
- [20] Stein E.M., Dietl C., "Hornblende thermometry of granitoids from the central Odenwald Germany and their implications for the geotectonic development of the Odenwald", Mineralogy and Petrology 72 (2001) 185-207.
- [21] Helmy H.M., Ahmed A.F., El Mahallawi M.M., Ali S.M., "Pressure, temperature and oxygen fugacity conditions of calc-alkaline granitoids, Eastern Desert of Egypt, and tectonic implications", Journal of African Earth Science 38 (2004) 255-268.
- [22] Blundy J.D., Holland T.J.B., "Calcic amphibole equilibria and a new amphibole-plagioclase geothermometer-reply to the comment of Poli and Schmidt", Contribution to Mineralalogy and Petrology 111 (1992) 278-282.

## مراجع

- [۱] مؤسسه جغرافیائی و کارتوگرافی گیاتاشناسی، "نقشه راه-های ایران" ، (۱۳۸۴).
- [۲] Didier j., Barbarin B., "Enclaves and granite petrology", Elsevier science publishers (1991) 625p.
- [۳] یوسفزاده م.ح، "پترولوزی پدیده‌های لیستونیتی شدن در مجموعه‌های آذرین و رسوی شرق خوسف (جنوب غربی بیرونی)، پایان‌نامه کارشناسی ارشد زمین‌شناسی (شاخه پترولوزی)"، دانشگاه اصفهان، ۲۹۱ صفحه.
- [۴] یوسفزاده م.ح، "پتروگرافی، ژئوشیمی و پتروژنر سنگ‌های آتش‌شانی ترشیری منطقه بیرونی - خوسف با نگرشی ویژه بر انکلاوه‌های موجود در آن،" پایان‌نامه دوره دکتری پترولوزی، دانشگاه شهید بهشتی (۱۳۸۸) ۲۸۶ صفحه.
- [۵] Barbarin B., "Contrasted origins for the polygenic and monogenic enclave swarms in some granitoids of the Sierra Nevada batholith, California", terra Abstr., 3 (1991) 32.
- [۶] Best M.G., "Igneous and Metamorphic Petrology", Blackwell Publishing, (2003).
- [۷] معین وزیری ح، "پترولوزی سنگ‌های دگرگونی"، انتشارات دانشگاه تربیت معلم (۱۳۷۷) ۳۳۶ صفحه.
- [۸] ولی زاده م. و، صادقیان م، "پتروژنر سنگ‌های دگرگونی (ترجمه)", انتشارات دانشگاه تهران (۱۳۷۹) ۴۰۴ ص.
- [۹] Miyashiro A., "Metamorphic Petrology", UCL Press (1994) 404p.
- [۱۰] پورمعافی م، "پتروگرافی و پترولوزی دگرگونی"، انتشارات یکان (۱۳۸۳) ۲۲۲ ص.
- [۱۱] Binns R.A., "Metamorphic pyroxenes from the Broken Hill district, New South Wales", Mineralogical Magazine, 33 (1962) 320-38.
- [۱۲] Binns R.A., "The mineralogy of metamorphosed basic rocks from the Willyama complex, Broken Hill district, New South Wales", Mineralogical Magazine, 35 (1965a,b) 306-26, 269-84.
- [۱۳] Spear F.S., Cheney J.T., "A petrogenetic grid for politic schists in the system SiO<sub>2</sub>-Al<sub>2</sub>O<sub>3</sub>-FeO-MgO-K<sub>2</sub>O-H<sub>2</sub>O", Contr.Mineral. Petrol.101 (1989) 149-164.
- [۱۴] Harte B., Hudson N.F.C., "Pelitic facies series and the temperatures and pressures of Dalradian metamorphism in E. Scotland", (1979) In KORNPROBST, (1996).
- [۱۱] Leake B.E., et al., "Nomenclature of amphiboles of the subcommittee on amphiboles of the international mineralogical association